

Moto:”Azi facem matematica ce va fi folosită mâine și mai ales poimăine, că dacă n-am face-o azi, poimăine ar trebui s-o importăm”

Grigore C. Moisil

DEFINIREA **FSM-CE HIPOELEMENTARE** DE VARIABILĂ EXCENTRICĂ θ ȘI CENTRICĂ α

3.1 GENERALITĂȚI

Prezentarea ar trebui să înceapă cu funcțiile **beta excentrice**, deoarece ele vor fi utilizate în continuare și la definirea și prezentarea următoarelor **FSM-CE**, care sunt funcțiile **amplitudine excentrică**, funcții asemănătoare din multe puncte de vedere cu funcțiile eliptice **Jacobi** amplitudine sau amplitudinus **am(u,k)**.

Dar va începe cu funcția “rege” **radial excentric rex θ** și **Rex α** .

Așa cum **FCC cos** și **sin**, induse prin argumentul \rightarrow funcția eliptică **Jacobi am(u,k)**, definește funcțiile cosinus și sinus eliptice, adică $\cos[\text{am}(u,k)] = \text{cn}(u,k)$ și $\sin[\text{am}(u,k)] = \text{sn}(u,k)$, tot așa **FCC cos** și **sin** definesc **FSM-CE** cosinus și sinus excentrice, adică $\cos[\text{aex}(\theta, S)] = \text{cex}\theta$, $\sin[\text{aex}(\theta, S)] = \text{sex}\theta$ și, în plus, $\tan[\text{aex}(\theta, S)] \equiv \text{tg}[\text{aex}(\theta, S)] = \text{tex}\theta$, $\cot[\text{aex}(\theta, S)] \equiv \text{ctg}[\text{aex}(\theta, S)] = \text{ctex}\theta$ și la fel pentru secanta, cosecantă și altele ca funcții de variabila **excentrică θ** . Ca **FSM-CE** de **variabila centrică α** , în **SM** apar și funcțiile **Cex α** = $\cos[\text{Aex}(\alpha, S)]$, **Sex α** = $\sin[\text{Aex}(\alpha, S)]$, **Tex α** = $\text{Tan}[\text{Aex}(\alpha, S)]$, ș.a.

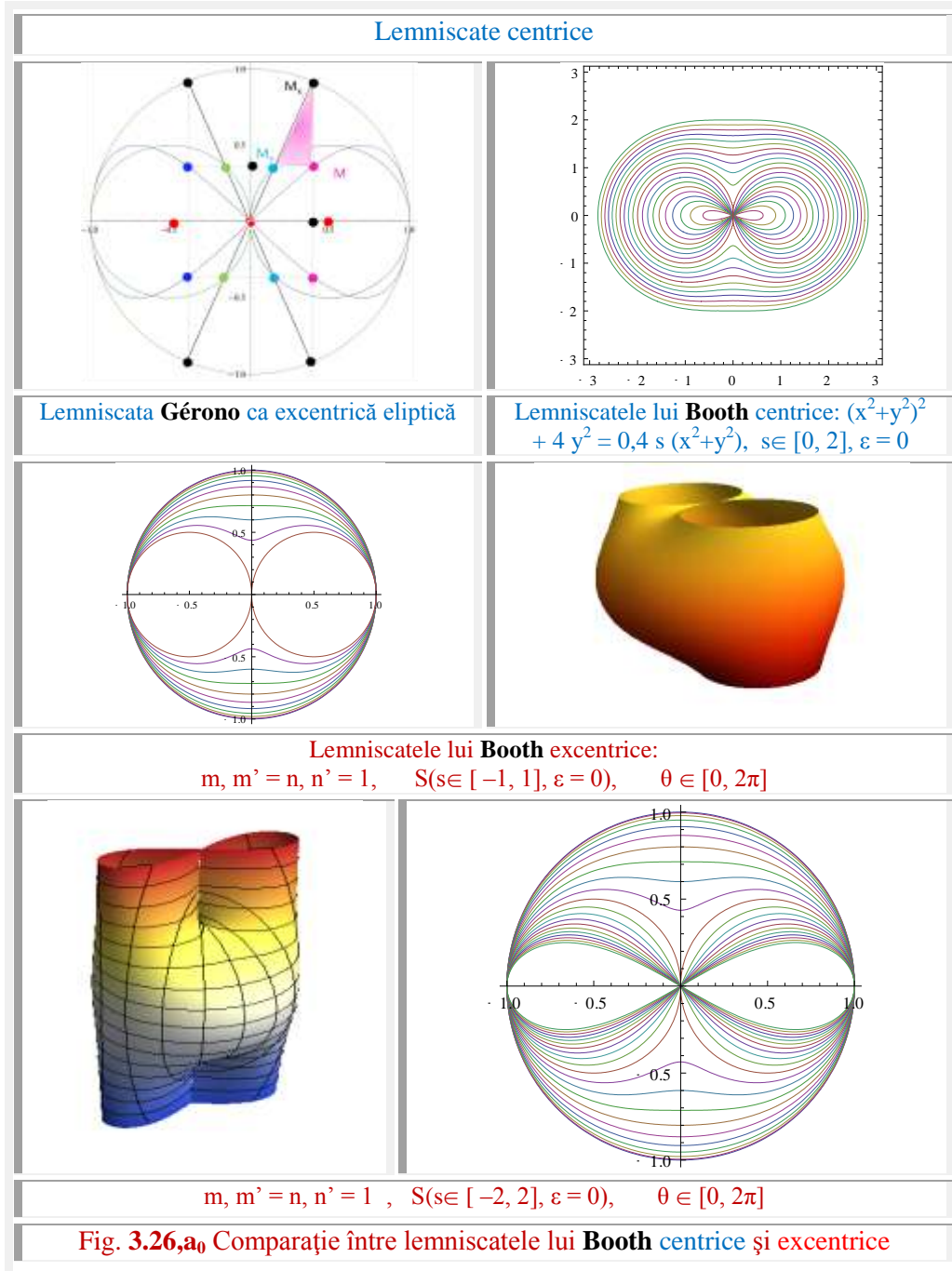
Deoarece **geometria** operează cu drepte, iar **trigonometria centrică** cu semidrepte, la îndemnul prof. Dr. math. **Horst Klep**, pentru evitarea neajunsurilor care apar din această cauză, în **ME** cercul unitate a fost intersectat cu o dreaptă și nu cu o semidreapta ca în **MC**, astfel că au fost redefinite câte două determinări pentru fiecare **FSM-CE** în parte: una peincipală, notată cu indice 1, sau fără indice când nu pot să apară confuzii și determinarea secundară de indice 2, care întotdeauna trebuie marcată.

Uneori ele vor fi scrise concentrat astfel: **aex_{1,2} θ** , **Aex_{1,2}**, **bex_{1,2} θ** , **Bex_{1,2}**, **cex_{1,2} θ** , **Cex_{1,2}**, **dex_{1,2} θ** , **Dex_{1,2}**, **rex_{1,2} θ** , **Rex_{1,2}**, **sex_{1,2} θ** , **Sex_{1,2}**, **tex_{1,2} θ** , **Tex_{1,2}**, ș.a.m.d.

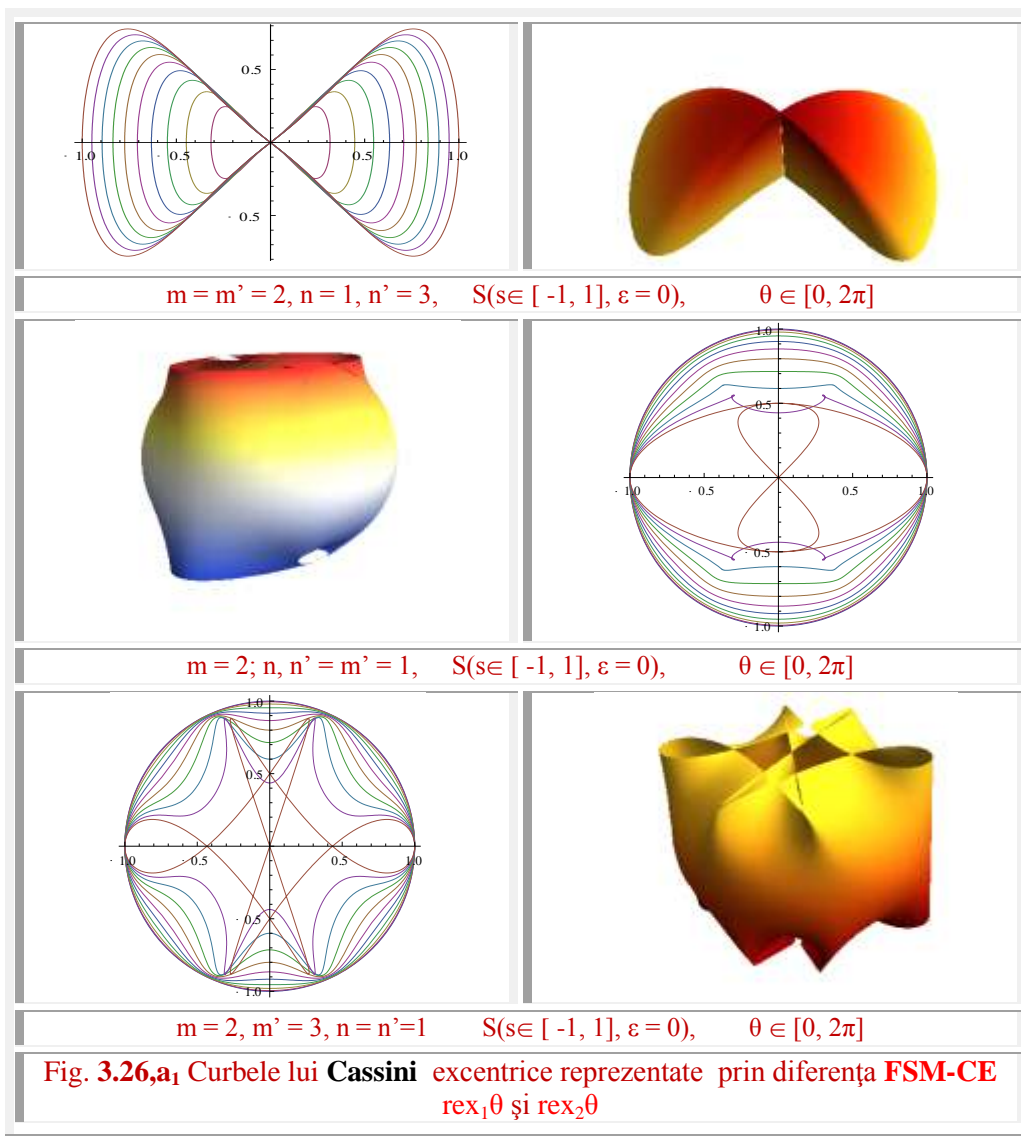
3.2 **FSM-CE RADIAL EXCENTRIC rex θ** și **Rex α**

Și **FSM-CE** radial excentrice **rex_{1,2} θ** , definite inițial cu dimensiunea lungimii [L], deoarece reprezentau distanța de la excentrul **S** la punctele $W_{1,2}$ în coordonate

polare, sau de variabila excentrică θ , au fost redefinite ca mărimi adimensionale, prin normarea lor, la sugestia Prof. dr. ing. **Dan Perju**.



Dacă excentricitatea numerică este subunitară, adică $s < 1$, apar numai două determinări, câte una pentru fiecare semidreaptă d^+ și d^- . **FSM-CE** $rex_1\theta$, rezultând orientată în sensul pozitiv pe semidreapta d^+ va fi pozitivă, adică $rex_1\theta > 0$, în timp ce, a doua determinare $rex_2\theta$, fiind orientată în sensul pozitiv pe semiaxa negativă, va fi negativă, adică $rex_2\theta < 0$. Evident că $rex_2\theta = -rex_1(\theta \pm \pi)$.

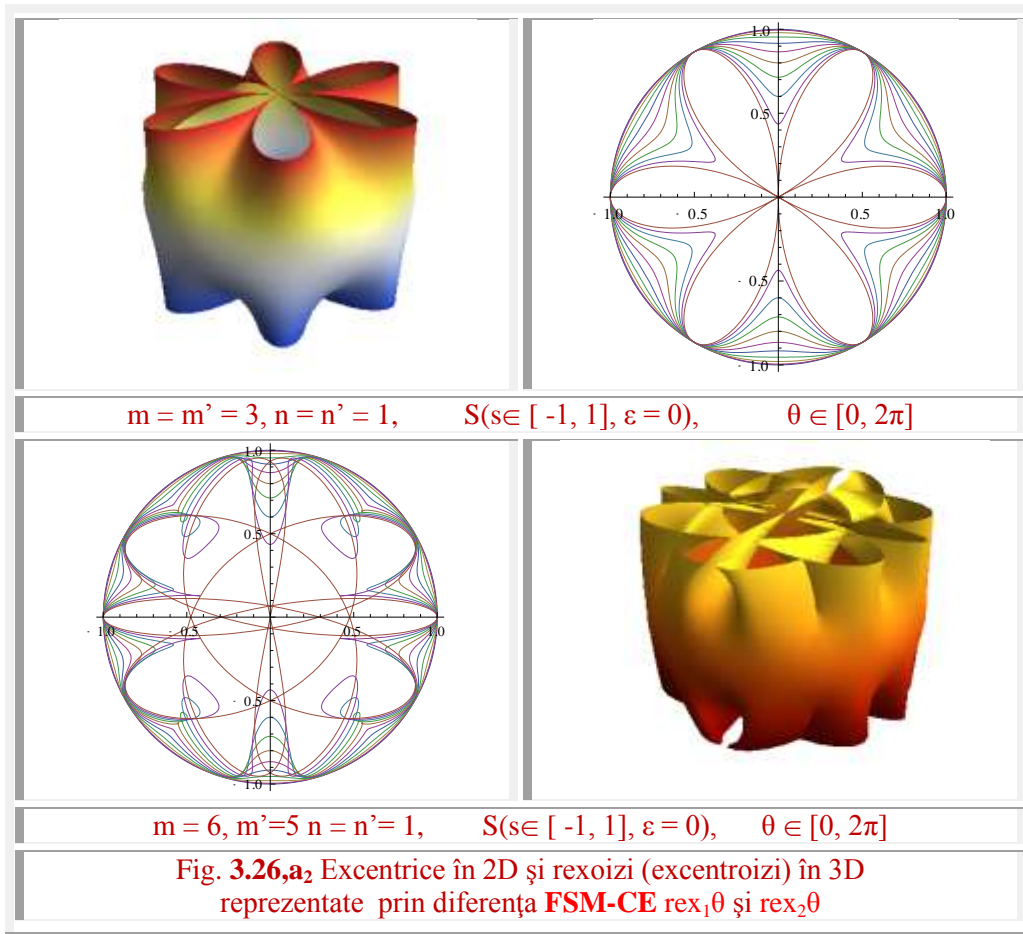


Dacă excentricitatea numerică este supraunitară ($s > 1$) apar patru determinări: câte două din intersecția cercului unitate $CU(O,1)$ cu fiecare semidreaptă. Cele rezultate din intersecția semidreptei pozitive cu CU , notate cu indicii 1 și 2, vor fi

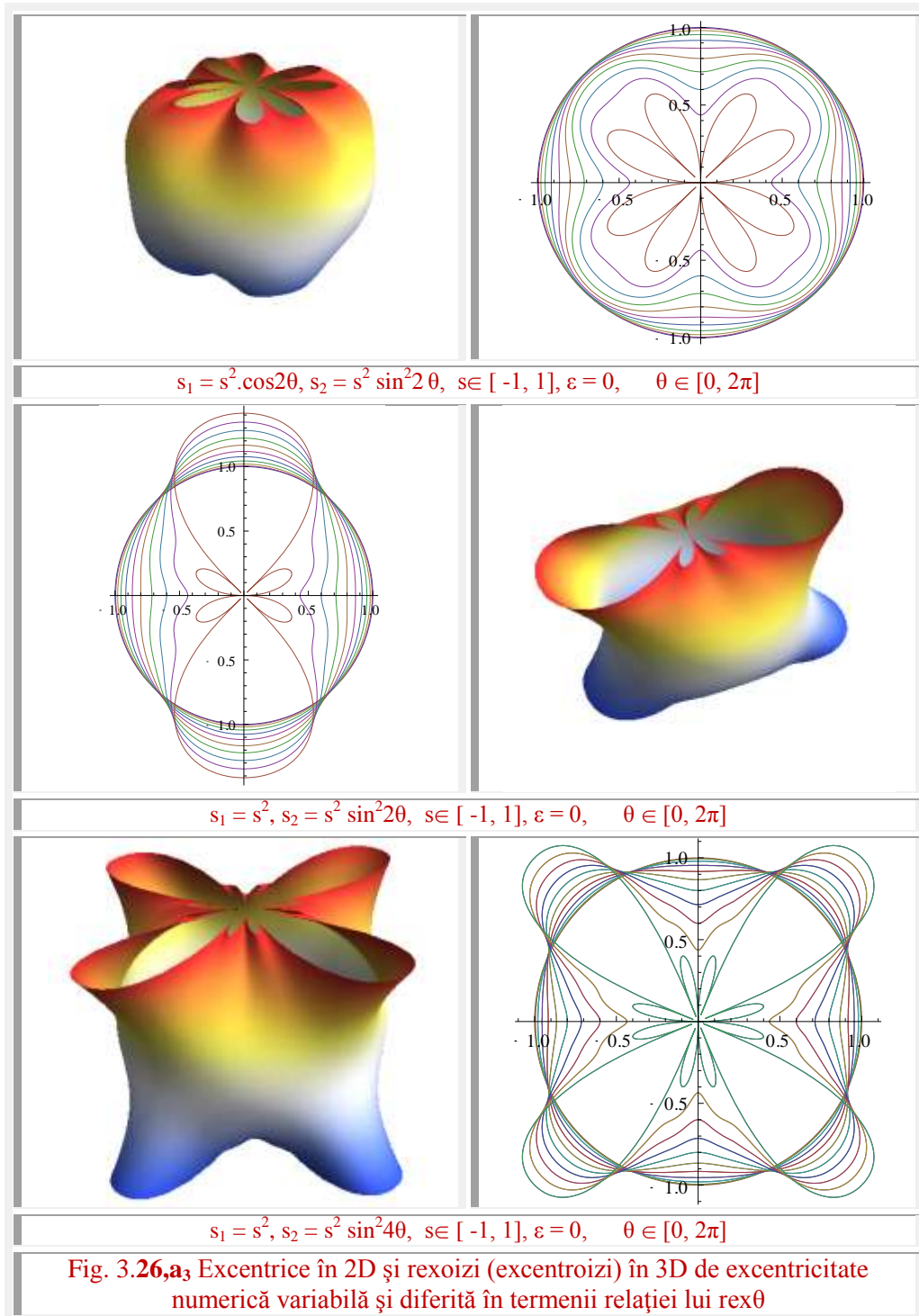
ambele pozitive, adică $\text{rex}_{1,2}(\theta, s > 1) > 0$, iar cele rezultate din intersecția cu semiaxa negativă, notate cu indicii 3 și 4, vor fi ambele negative, adică $\text{rex}_{3,4}(\theta, s > 1) < 0$.

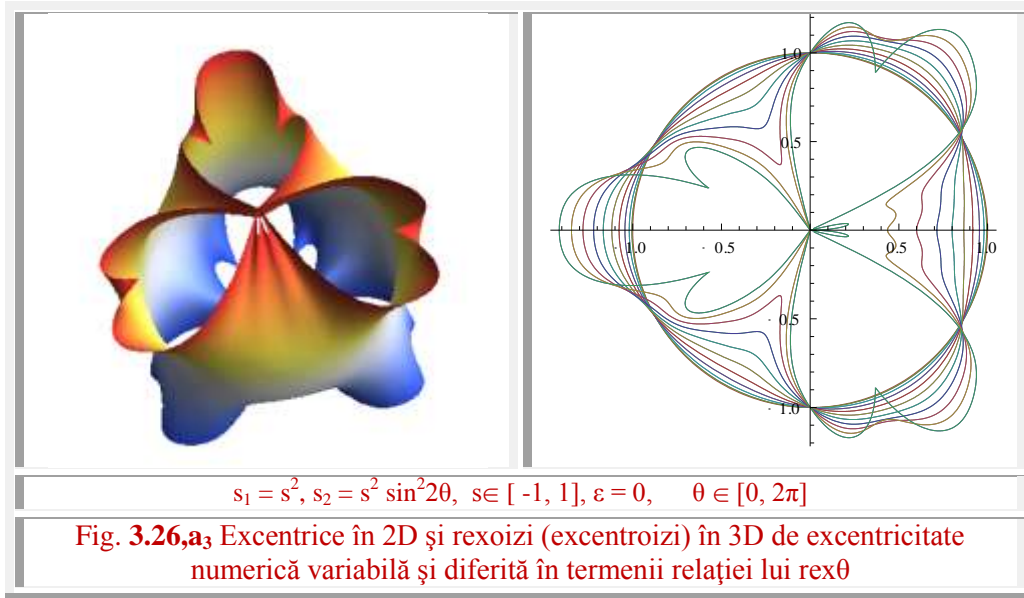
Rezultă că **FSM – CE** de indice 3 și 4 diferă față de cele de indice 1 și 2 doar prin semn. De aceea, lor **nu** li se va acorda atenție în cele ce urmează.

Un sprijin substanțial, pentru redefinirea **FSM-CE** a fost primit și din partea regretatului Prof. math. **Anton Hadnagy** care a denumit totalitatea entităților matematice 2D, noi apărute, odată cu apariția **ME** și, implicit a supermatematicii (**SM**), ca fiind **excentrice** (circulare, eliptice, parabolice, hiperbolice, ș.a.m.d.).



Definiții mai riguroase, d.p.d.v. matematic, decât cele ale unui inginer, au fost date de Prof. dr. math. **Emilia Petrișor**, cea care a introdus în știință și în tehnică **haosul excentric**, prin înlocuirea **FCC** $\cos\alpha$ și $\sin\alpha$, din teoria **haosului centric** [24], cu **FSM-CE** $\text{cex}\theta$ și $\text{sex}\theta$, renotate de autoare prin $\text{cecc}\theta$ și $\text{secc}\theta$, pentru a fi aduse de acord cu scrierea excentricității din limba engleză: **eccentricity**.





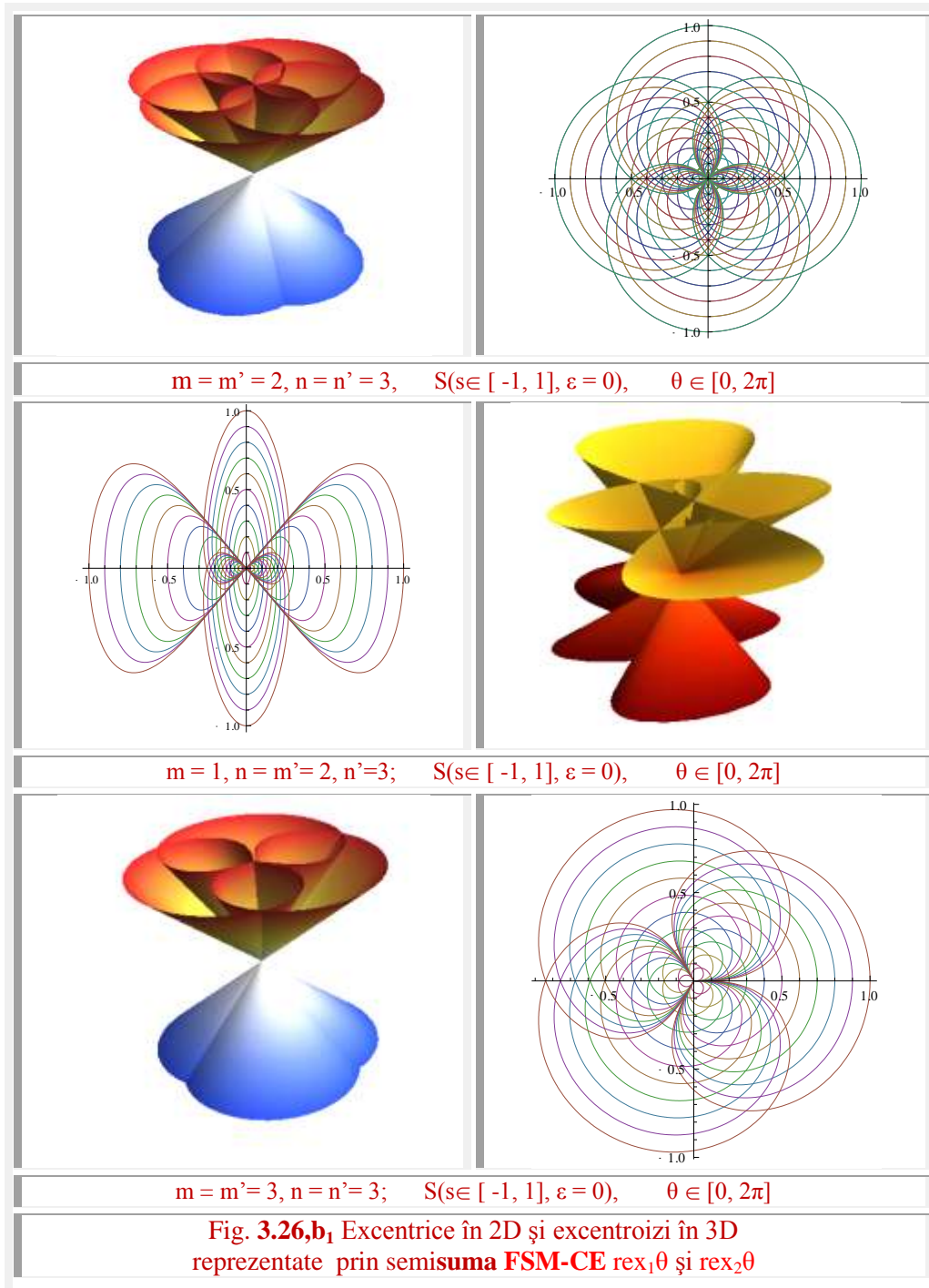
Regretatul Prof. dr. math. **Octav Em. Gheorghiu** a fost un vajnic, competent și entuziast susținător al noilor complemente de matematică, reunite sub denumirea de **SM** și este cel care a constatat că toate curbele matematice centrice pot fi descrise de o singură **FSM–CE**, și anume, de funcția radial excentric de variabilă excentrică θ , **rex θ** , pe care a numit-o “o adevărată funcție rege”, deoarece ea exprimă/descrie distanța, în plan, dintre două puncte, în coordonate polare.

O contribuție de seamă la dezvoltarea și diseminarea noilor cunoștințe din domeniul **FSM** o are reputatul matematician american de origine română Prof. Dr. math. **Florentin Smarandache**, șeful Departamentului de Matematică de la Universitatea New Mexico, care a aplicat aceste funcții la integrarea imediată a integralelor de tip Poisson [39] și a publicat unele aplicații artistice realizate cu **FSM** [21]. Fără sprijinul lui, **SM** ca și **X**, **Y**, **Z** rămâneau niște necunoscute.

Câteva exemple de aplicații ale funcției rege (rex) sunt prezentate în figurile **3.26**, în 2D și în 3D, alese în funcție de aspectul lor artistic. Astfel, în figura **3.26,a0** sunt prezentate lemniscatele centrice **Gérono** și **Booth**. Lemniscata **Gérono** reprezintă proiecția pe un plan diametral a curbei lui **Viviani**, rezultate din intersecția unei sfere de rază R , cu un cilindru de rază $R/2$, având o generatoare a cilindrului ce trece prin centrul sferei $O(0, 0)$.

Lemniscata **Gérono** de ecuație carteziană

$$x^4 = a^2(x^2 - y^2) \quad \text{și polară} \quad \rho = a \sqrt{\frac{\cos 2\theta}{\cos^4 \theta}} \quad \text{are ecuațiile parametrice}$$



$\begin{cases} x = a \sin t \\ y = a \sin t \cdot \cos t \end{cases}$ și, așa cum s-a arătat în [23], poate fi reprezentată ca o excentrică eliptică de ecuații parametrice

$$\begin{cases} x = a \operatorname{cex}[\theta, Sx(s_x = 0, \varepsilon_x = 0)] = a \cdot \cos \theta \\ y = b \operatorname{sex}[\theta, Sy(s_y = \pm 1, \varepsilon_y = 0)] = b \cdot \sin [\theta \mp \arcsin(\sin \theta)] \end{cases}$$

Graficul din figura 3.26.a₀ este reprezentate pentru a = 1 și b = 0,5.

Reamintim că excentrica eliptică se obține din ecuațiile parametrice ale unei elipse în care **FCC** $\cos \alpha$ și $\sin \alpha$ se înlocuiesc cu **FSM-CE** $\operatorname{cex} \theta$ și $\operatorname{sex} \theta$.

În figura 3.26.a₁ și 3.26.a₂ sunt reprezentate semidiferențele dintre cele două determinări ale funcțiilor $\operatorname{rex}_{1,2} \theta$, prin ecuațiile parametrice

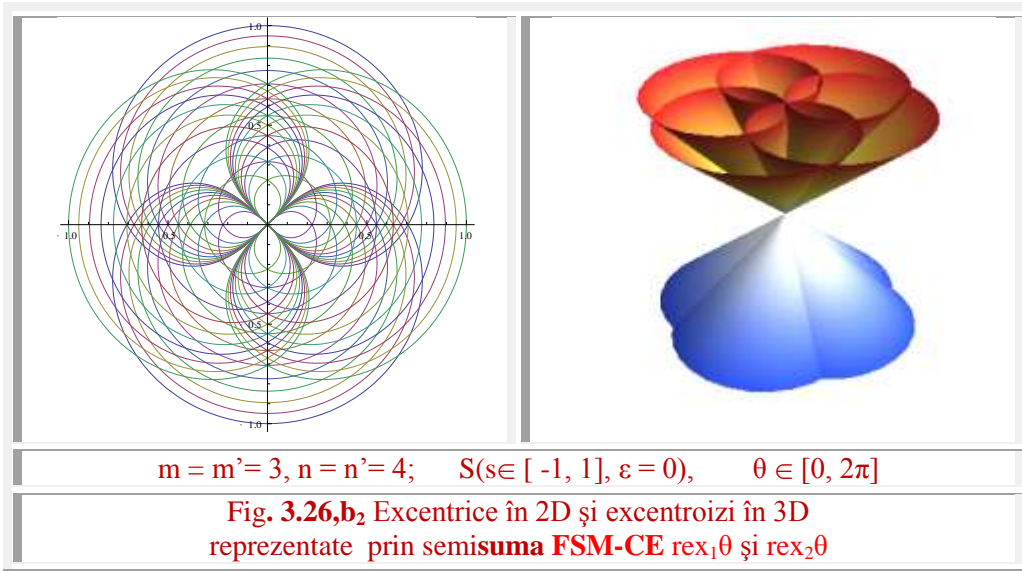
$$\begin{cases} x = 0,5(\operatorname{rex}_1 m \theta - \operatorname{rex}_2 m \theta) \cos n \theta, \rightarrow x = \cos n \theta \sqrt{1 - s^2 \sin^2 m \theta} \\ y = 0,5(\operatorname{rex}_1 m' \theta - \operatorname{rex}_2 m' \theta) \sin n' \theta, \rightarrow y = \sin n' \theta \sqrt{1 - s^2 \sin^2 m' \theta} \end{cases}$$

Figura 26.a₃ redă excentricele rexoidale și rexoizii de excentricitate numerică variabilă și diferită în cei doi termeni ai expresiei **FSM-CE** $\operatorname{rex} \theta$

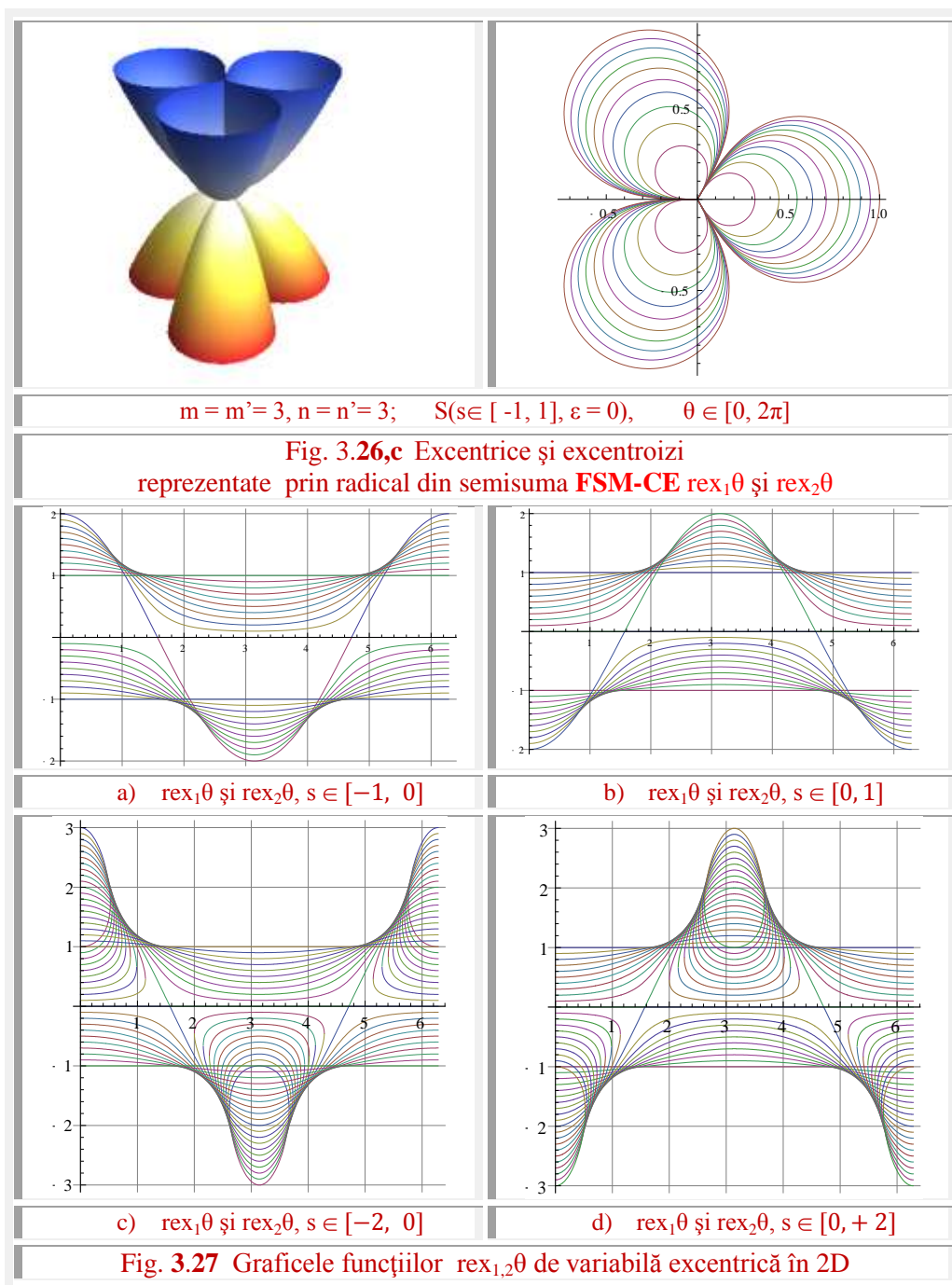
$$\begin{cases} x = \cos \theta \sqrt{\operatorname{rex} 2 \theta} = \cos \theta \sqrt{-s_1 \cos 2 \theta + \sqrt{1 - s_2^2 \sin^2 2 \theta}} \\ y = \sin \theta \sqrt{\operatorname{rex} 2 \theta} = \sin \theta \sqrt{-s_1 \cos 2 \theta + \sqrt{1 - s_2^2 \sin^2 2 \theta}} \end{cases},$$

$z = s$

în care, excentricitățile numerice sunt $s_1 = s^2 \cos 2 \theta$, $s_2 = s^2 \sin^2 2 \theta$



Imaginea din figura 3.26.a₃ de jos este cu $\operatorname{rex} 4 \theta$.



În figura 3.26,b sunt prezentate, prin ecuații parametrice, excentricele rexoidale rezultate din semisumele celor două determinări ale funcțiilor $rex_{1,2}\theta$

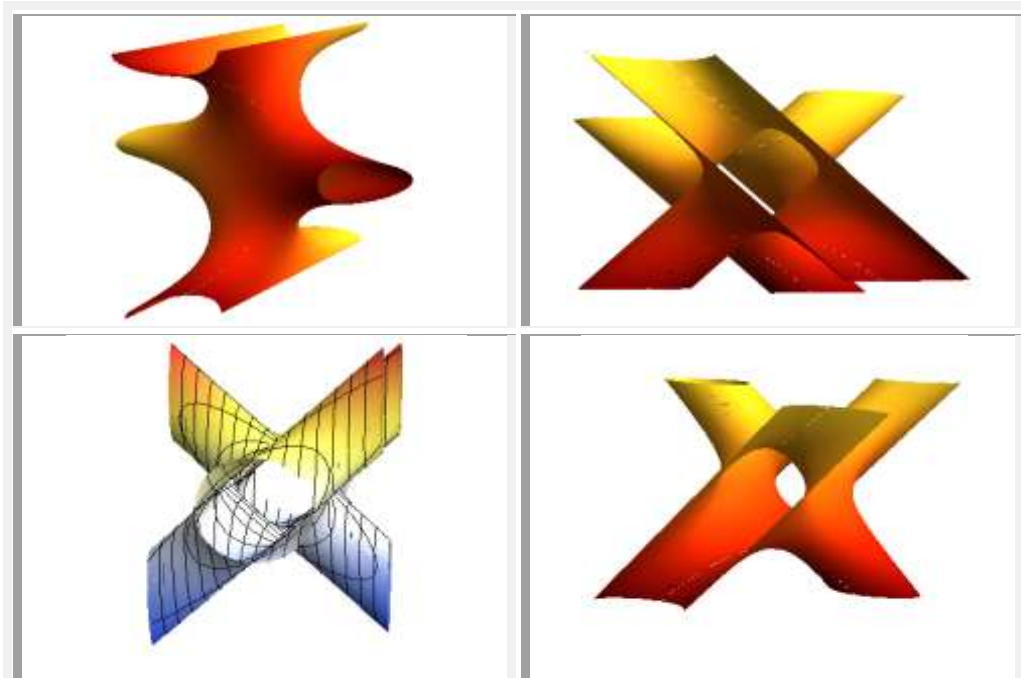
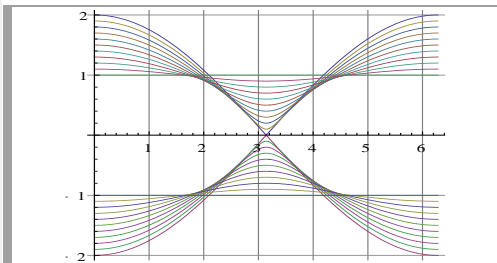
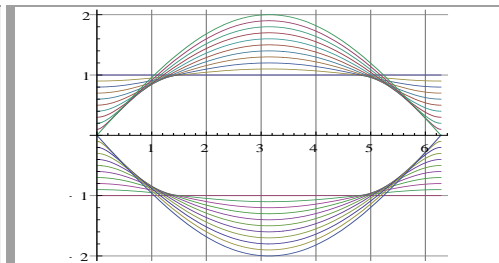


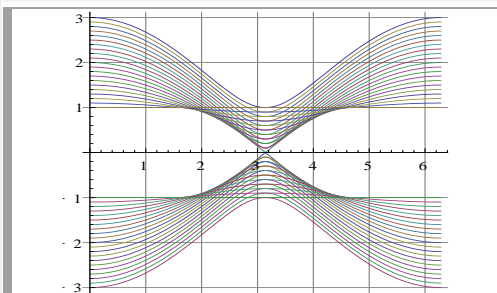
Fig.3.27,a Graficele funcțiilor $rex_{1,2}\theta$ de variabilă excentrică în 3D cu 4 vederi, pentru $\theta \in [-1,5\pi, +1,5\pi]$ $s \in [-2, 2]$



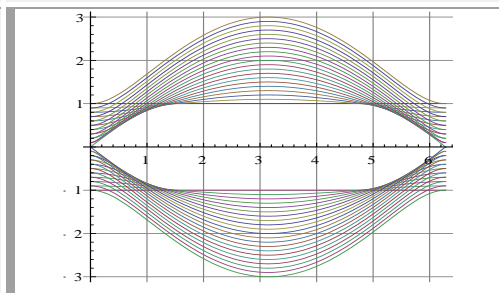
$Rex\alpha_1$ și $Rex\alpha_2$, $s \in [-1, 0]$



$Rex\alpha_1$ și $Rex\alpha_2$, $s \in [0, +1]$



$Rex\alpha_1$ și $Rex\alpha_2$, $s \in [-2, 0]$



$Rex\alpha_1$ și $Rex\alpha_2$, $s \in [0, +2]$

Fig.3.27,a Graficele aparente ale funcțiilor $Rex\alpha_{1,2}$ de variabilă centrică

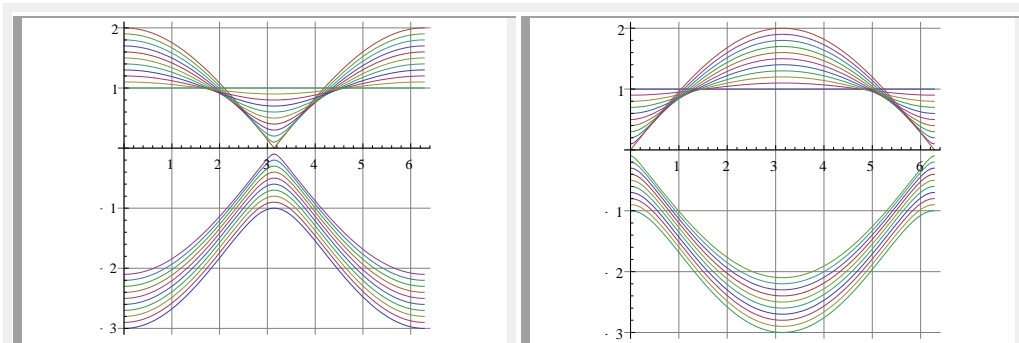


Fig. 3.27,b Graficele corecte ale funcțiilor $Rex\alpha_{1,2}$ de variabilă centrică

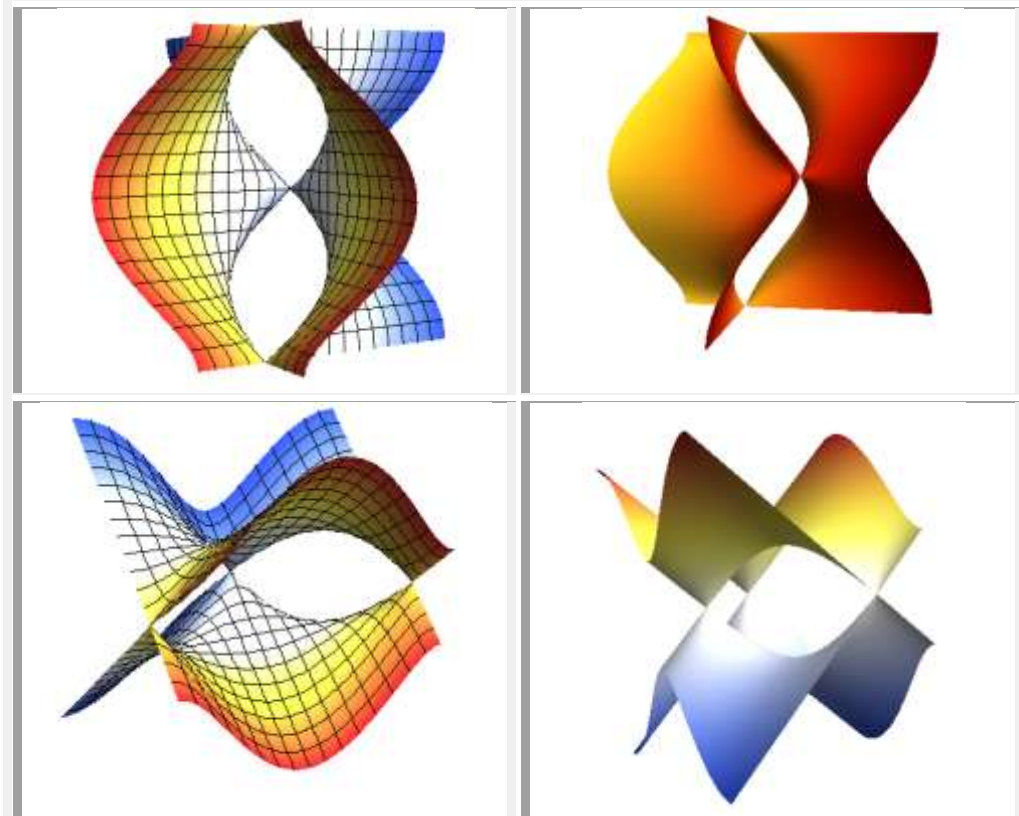
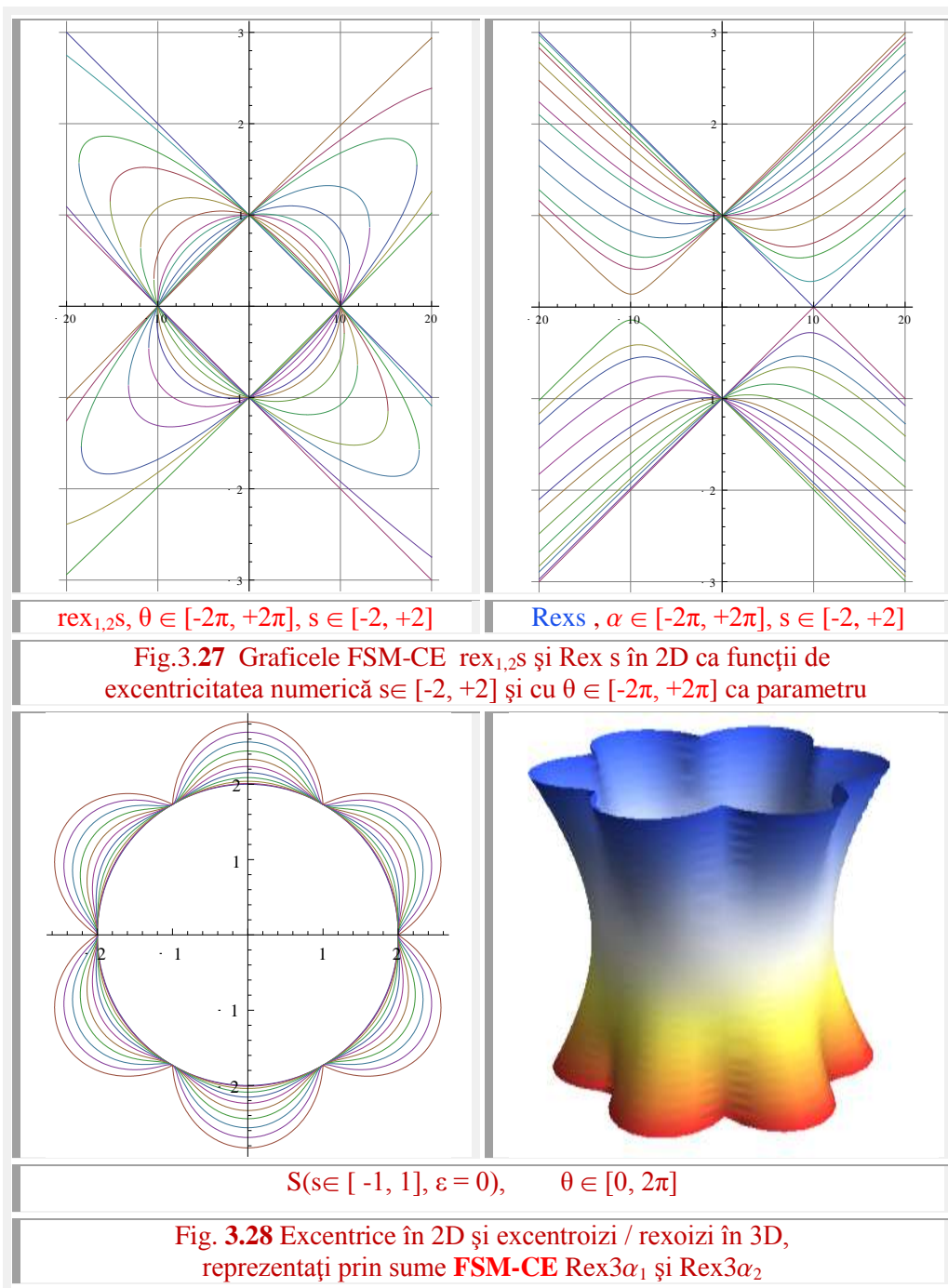


Fig. 3.27 Graficele funcțiilor $Rex\alpha_{1,2}$ de variabilă centrică în 3D cu 4 vederi

$$\begin{cases} x = 0,5 (rex_1 m\theta + rex_2 m\theta) \cos n\theta, \rightarrow x = \pm \cos n\theta (s \cos m\theta) \\ y = 0,5 (rex_1 m'\theta + rex_2 m'\theta) \sin n'\theta, \rightarrow y = \pm \sin n'\theta (s \cos m'\theta) \end{cases}$$

Correspondentele acestora în 3D, prezentate alături celor din 2D, au fost numite generic **excentroizi**, iar cei reprezentați prin **FSM-CE** $rex_{1,2}\theta$ pot fi numiți **rexoizi**. Ecuațiile lor parametrice sunt cele anterioare la care s-a adăugat ecuația $z = s$.



În ecuațiile anterioare, funcțiile radial excentrice de variabile excentrice au expresiile

$$rex_{1,2}\theta = -s \cdot \cos(\theta - \varepsilon) \pm \sqrt{1 - s^2 \sin^2(\theta - \varepsilon)},$$

iar în ecuațiile ce urmează, ca funcții de variabilele centrice $\alpha_{1,2}$, au expresiile

$$Rex \alpha_{1,2} = \pm \sqrt{1 + s^2} \mp 2s \cdot \cos(\alpha - \varepsilon),$$

cu graficele prezentate în figura 3.27, în care, cele două determinări sunt facil de recunoscut, deoarece atât $rex_1\theta$ cât și $Rex\alpha_1$ sunt pozitive, iar $rex_2\theta$ și $Rex\alpha_2$ sunt negative, din care rezultă că $Rex[\alpha_2, S(s,\varepsilon)] = -Rex[\alpha_1, S(-s, \varepsilon)] = -Rex[\alpha, S(s, \varepsilon = \pi)]$.

Excentricele rexoizale din figura 3.28,a au ecuațiile polare

$$\rho = Rex3\alpha_1 + Rex3\alpha_2 \quad \text{și cele parametrice sunt}$$

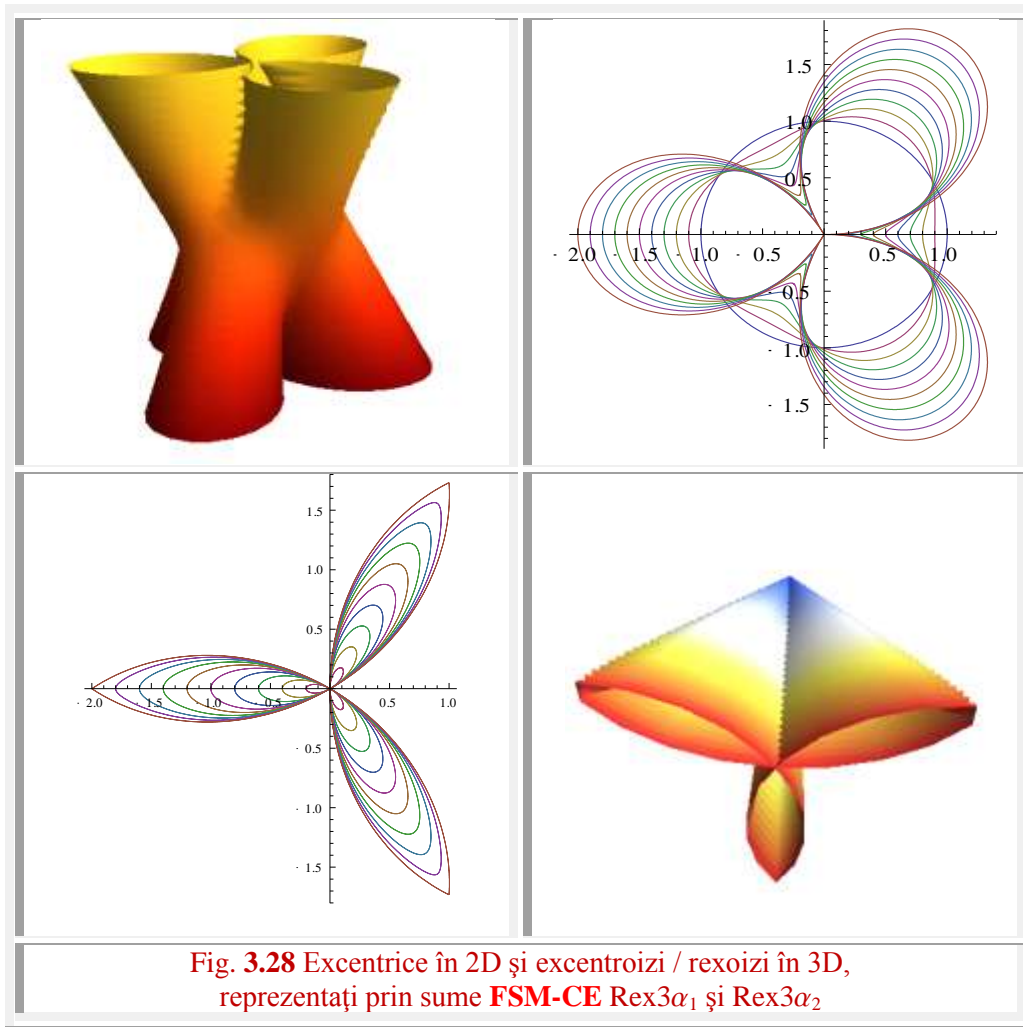


Fig. 3.28 Excentrice în 2D și excentroizi / rexoizi în 3D, reprezentați prin sume FSM-CE $Rex3\alpha_1$ și $Rex3\alpha_2$

$$\begin{cases} x = \rho \cdot \cos 3\alpha \\ y = \rho \cdot \sin 3\alpha \end{cases}$$

iar pentru rexoizi se mai adaugă ecuația $z = s$, așa că rezultă

$$\begin{cases} x = (\text{Rex}3\alpha_1 + \text{Rex}3\alpha_2)\cos\alpha = \cos\alpha(\sqrt{1+s^2-2s\cos(3\alpha-\varepsilon)} - \sqrt{1+s^2+2s\cos(3\alpha-\varepsilon)}) \\ y = (\text{Rex}3\alpha_1 + \text{Rex}3\alpha_2)\sin\alpha = \sin\alpha(\sqrt{1+s^2-2s\cos(3\alpha-\varepsilon)} - \sqrt{1+s^2+2s\cos(3\alpha-\varepsilon)}) \\ z = 3s \end{cases}$$

3.3 FSM-CE BETA EXCENTRICE $\text{bex}\theta$ și $\text{Bex}\alpha$

Sunt reprezentate de unghiurile $\beta_1 \dots \beta_4$ pe care le fac, câte două, dintre drepte generatoare, **centrice D**, turnante în jurul originii $O(0, 0)$, cu dreapta **excentrică d**, turnantă în jurul excentrului $S(s, \varepsilon)$, perechi de drepte concurente în punctele $W_1 \dots W_4$ de pe cercul unitate $CU(O, 1)$, așa cum se poate observa în figura 3.29.

În figura 3.29 sunt prezentate, schematic, sub forma unghiurilor $\beta_{1,2}(\theta)$, cu vârfurile pe cercul unitate $CU(O, 1)$, pentru excentricitatea numerică $s < 1$ și de unghiurile $\beta_{1,2,3,4}$ pentru $s > 1$.

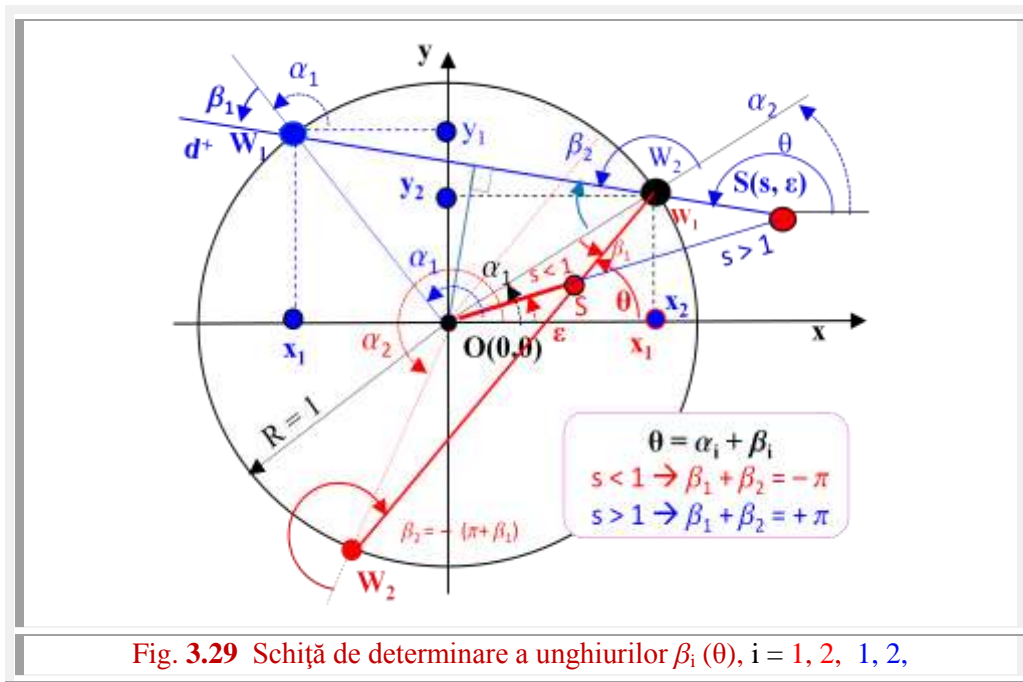
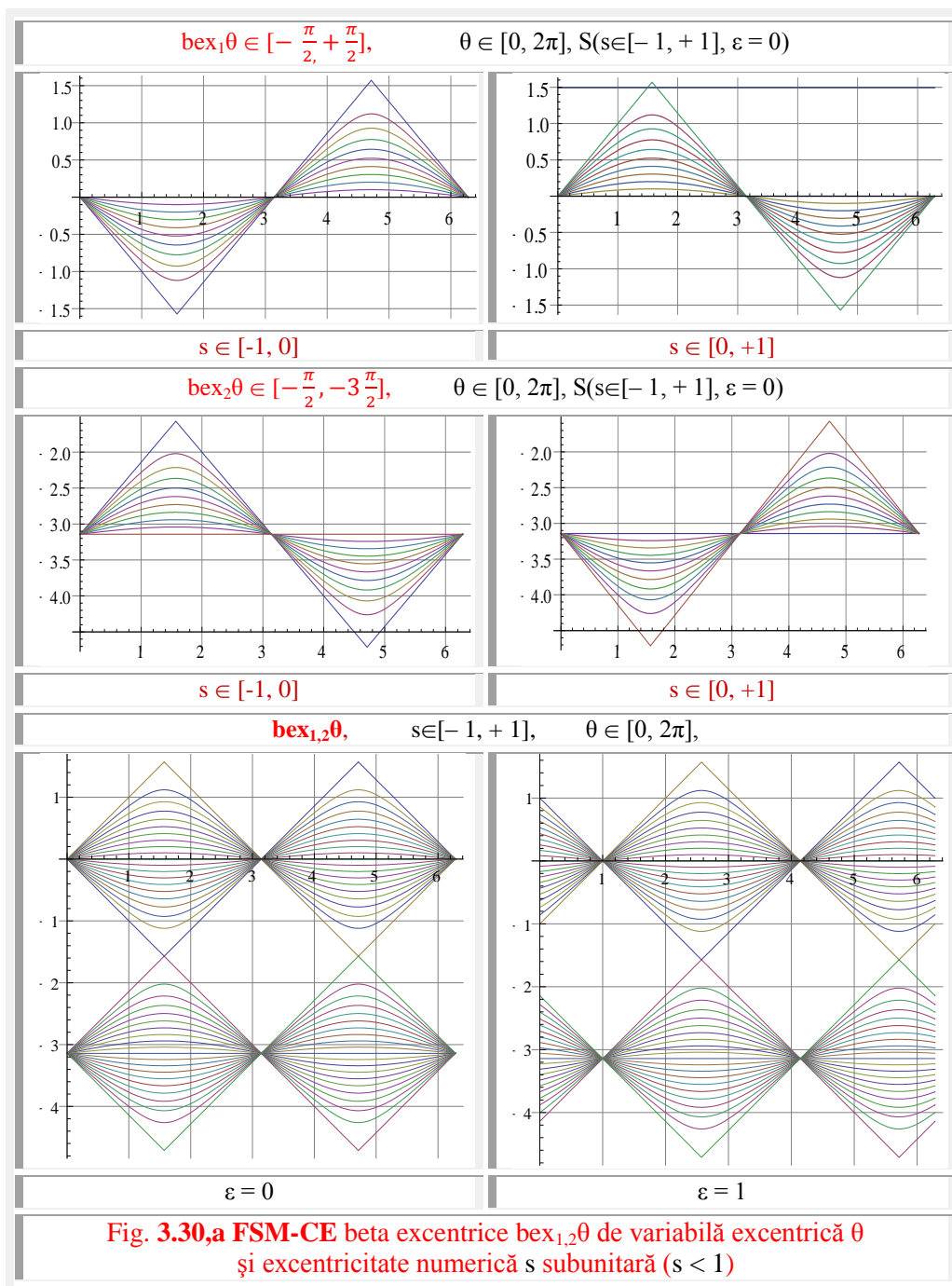
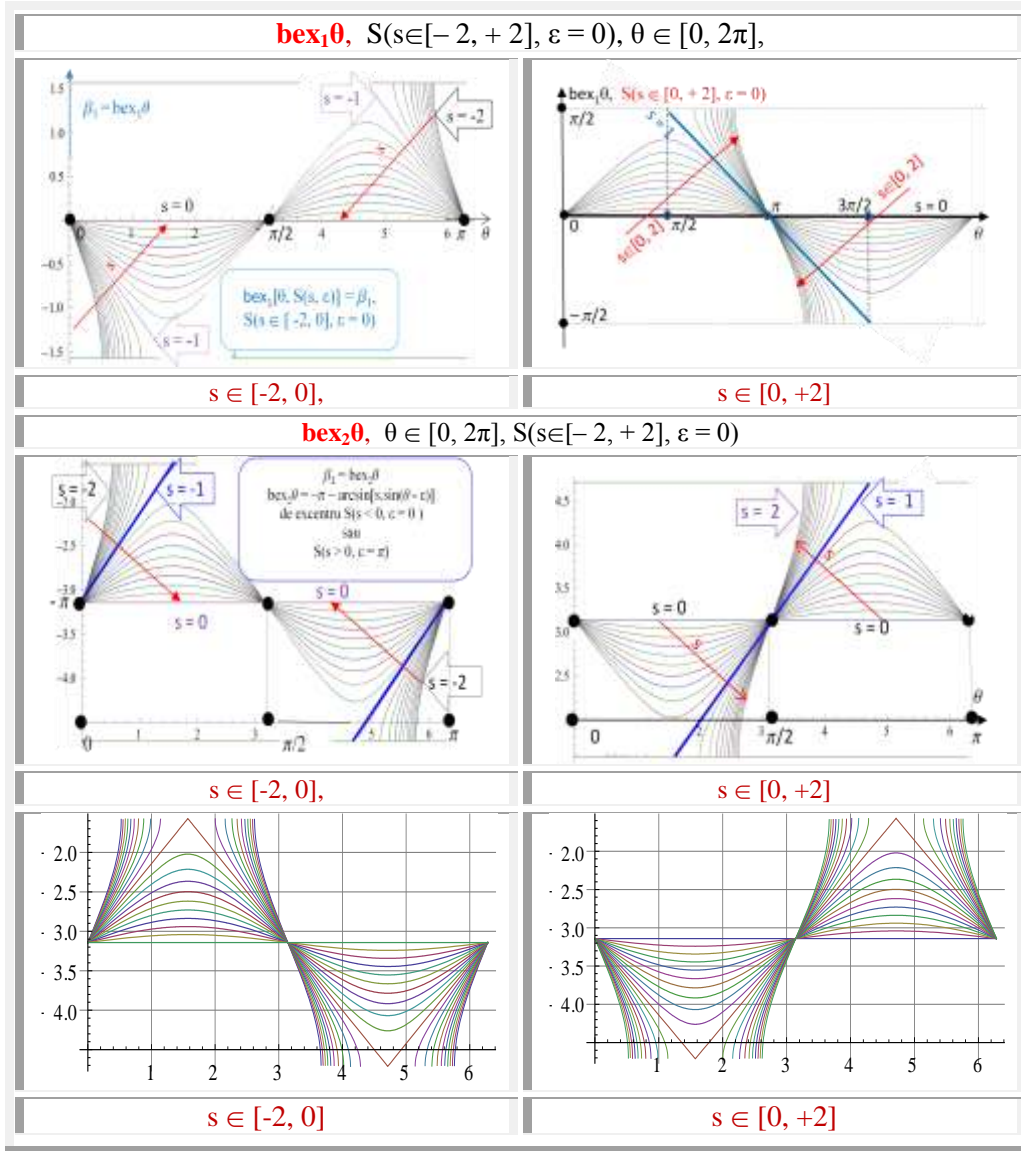


Fig. 3.29 Schiță de determinare a unghiurilor $\beta_i(\theta)$, $i = 1, 2, 1, 2$,

3.3.1 FSM-CE Beta excentrice de variabilă **excentrică $\text{bex}_{1,2}\theta$**

Așa cum rezultă din schița din figura 3.29, unghiurile β_i , cu vârfurile pe $CU(O,1)$ în punctele/vârfurile W_i , sunt date de unghiurile dintre vectorii $\vec{R}_i = \vec{OW}_i$ și $\vec{r}_i = \vec{SW}_i$, iar suma lor este



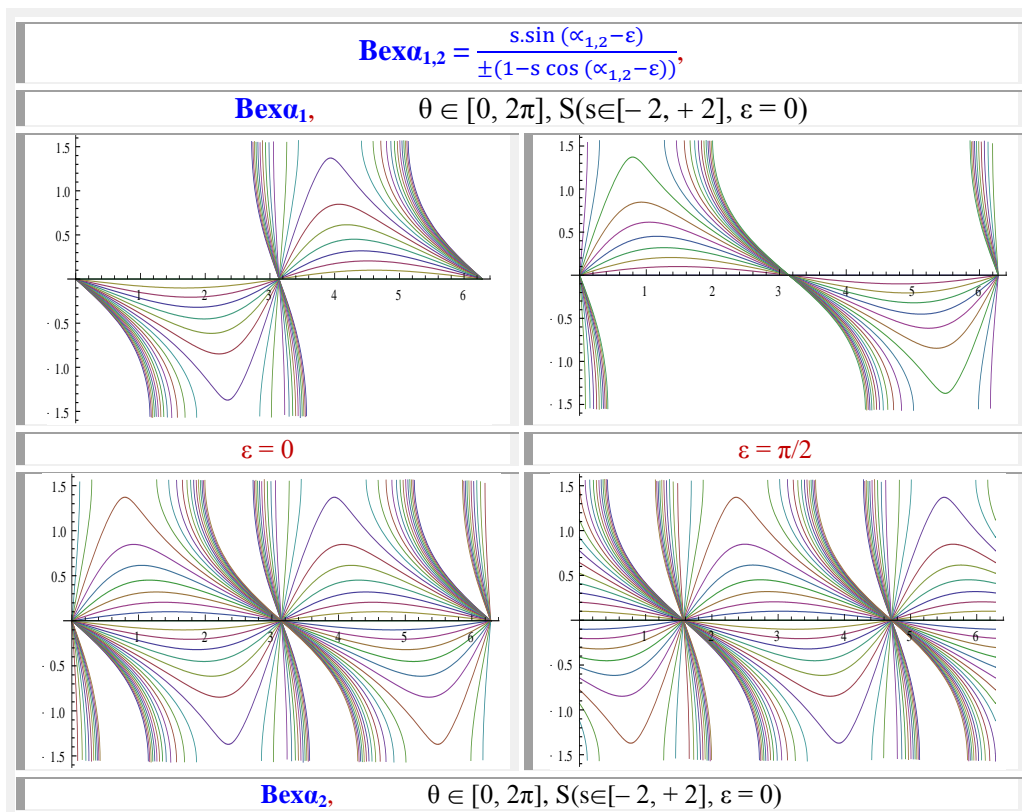
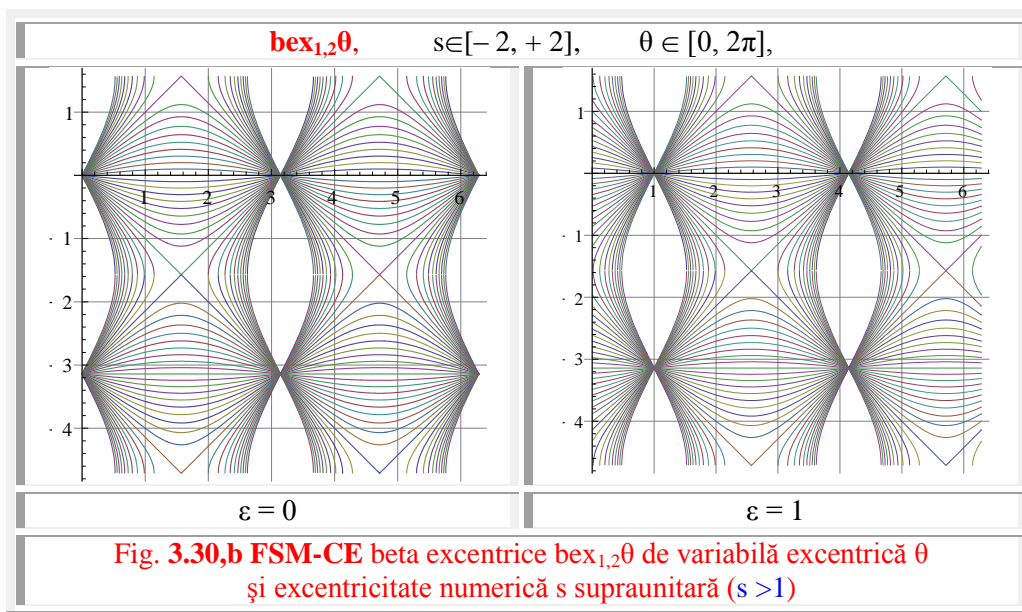


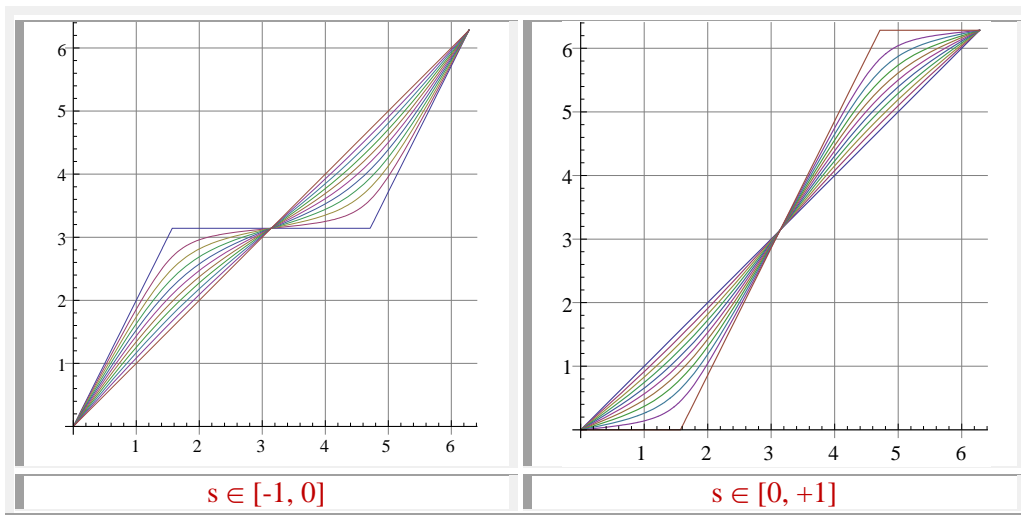
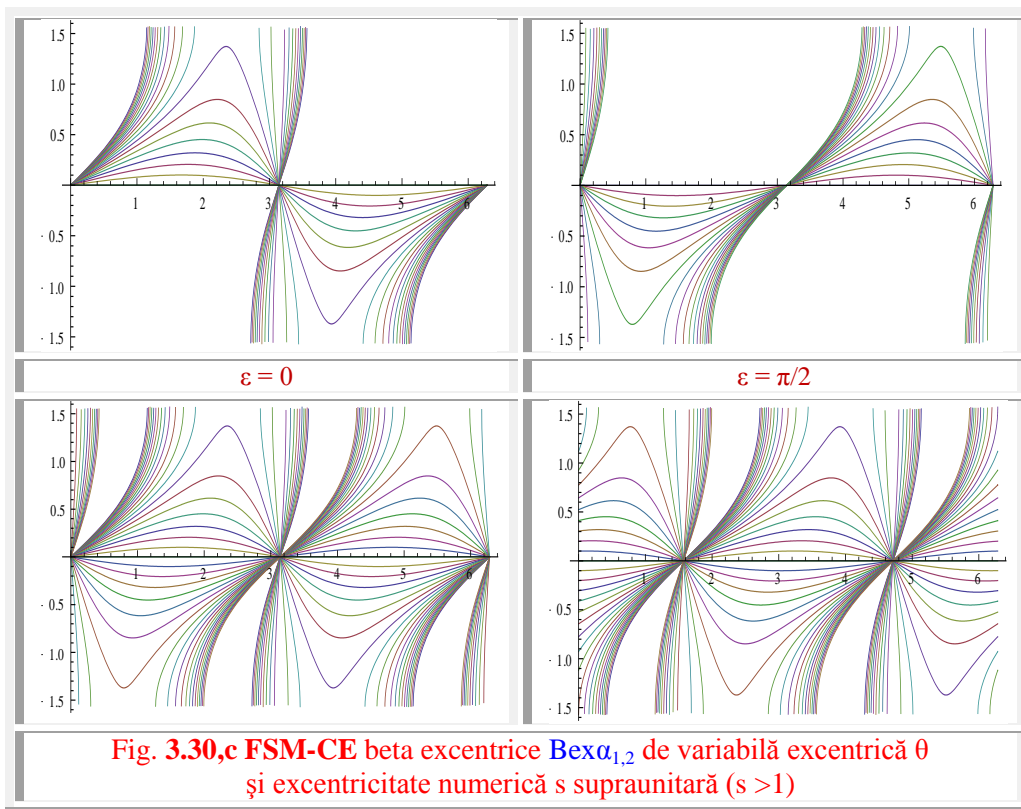
pentru $\begin{cases} s < 1 \rightarrow \beta_1 + \beta_2 = -\pi \\ s > 1 \rightarrow \begin{cases} \beta_1 + \beta_2 = +\pi \\ \beta_3 + \beta_4 = 3\pi \end{cases} \end{cases}$

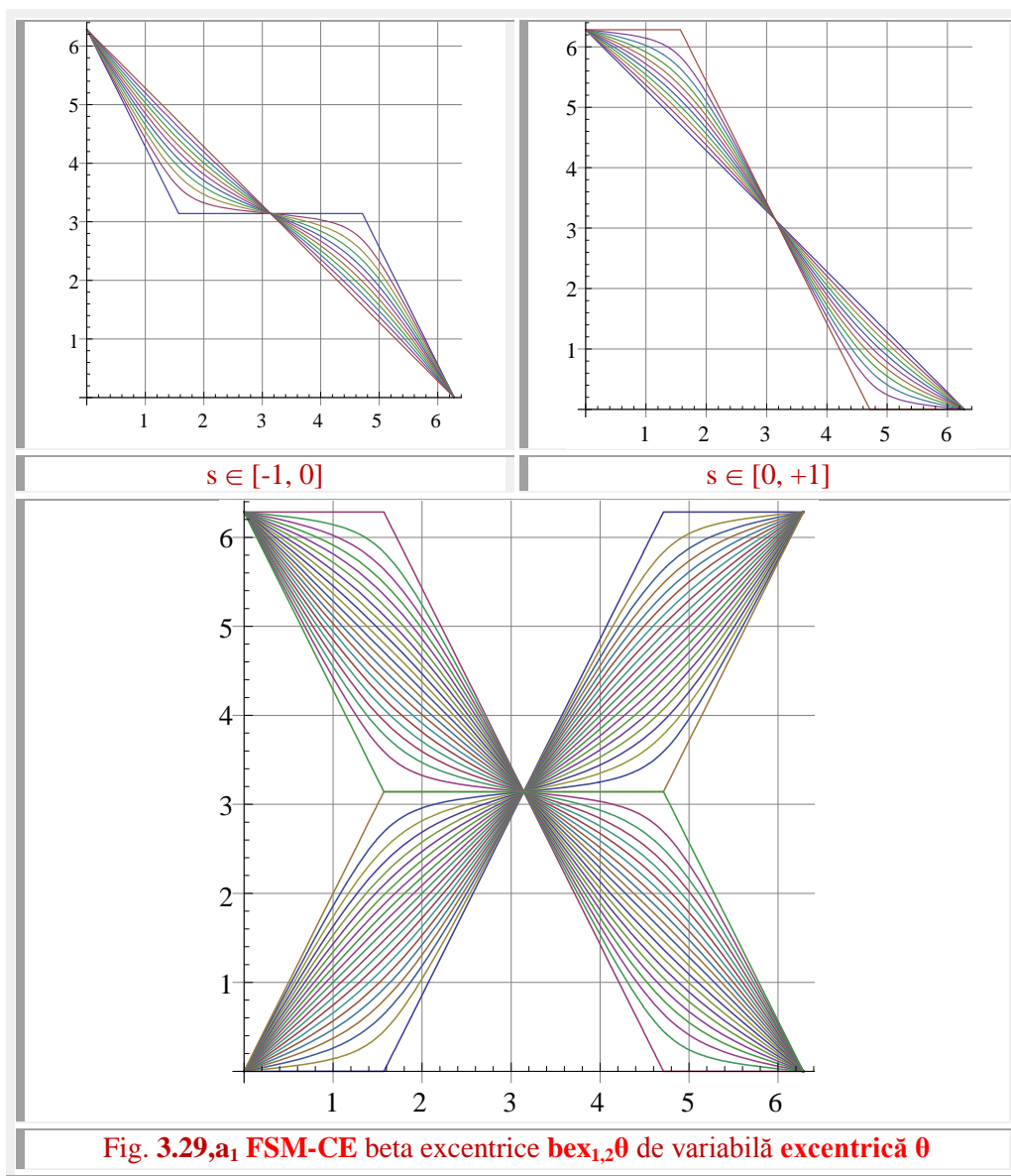
Funcțiile beta excentrice $\text{bex}_{1,2}\theta$ sunt reprezentate tocmai de aceste unghiuri cu variație periodică de perioadă 2π

$$\beta_{1,2}\theta = \text{bex}_{1,2}\theta = \begin{cases} \beta_1 = \text{bex}_1\theta = \arcsin[s \cdot \sin(\theta - \varepsilon)] \\ \beta_2 = \text{bex}_2\theta = -\pi - \beta_1 = -\{\pi + \arcsin[s \cdot \sin(\theta - \varepsilon)]\} \end{cases}$$

cu graficele din figura 3.30.





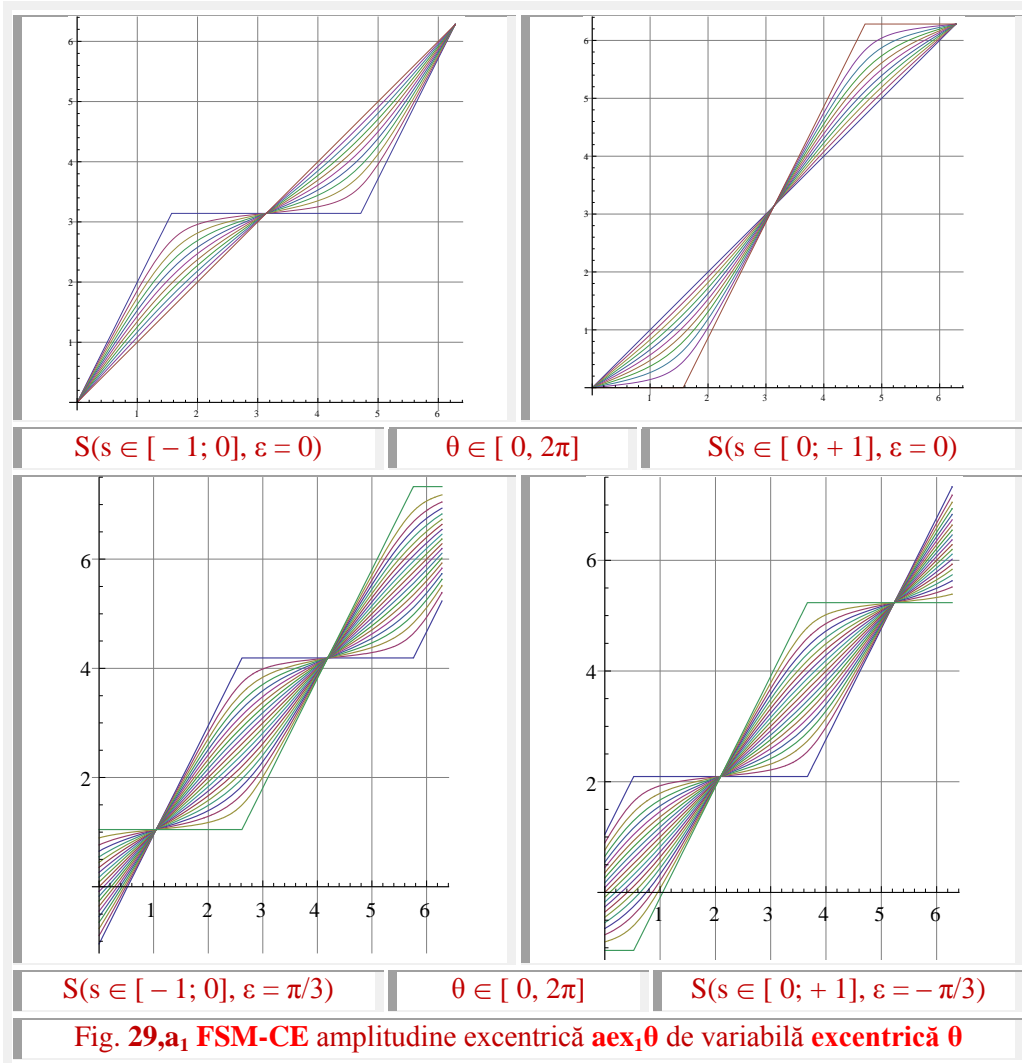


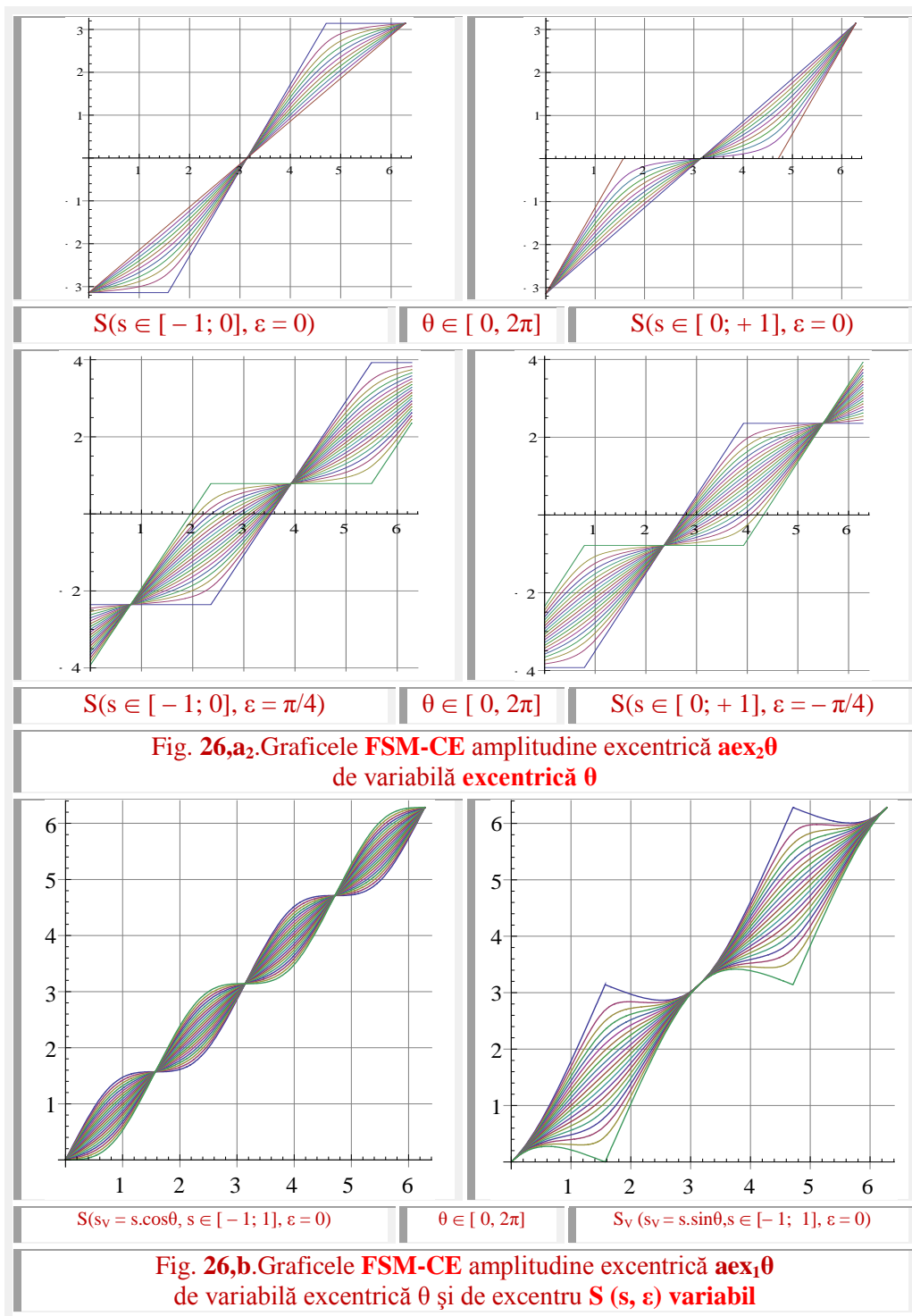
Unghiul β_1 oscileaza în jurul valorii de zero în domeniul $\pm \frac{\pi}{2}$, adică $\beta_1 \in [-\frac{\pi}{2}, +\frac{\pi}{2}]$, iar β_2 în jurul valorii lui $-\pi$ în același ecart, sau în domeniul $\beta_2 \in [-\frac{\pi}{2}, -3\frac{\pi}{2}]$

Se observă comparând figurile 3.30,a și 3.30,b, că numai în domeniul $s \in \{-1, 1\}$ funcția $bex_2\theta$ de $s > 1$ este identică cu funcția $bex_1\theta$ de $s < 1$, ceea ce era normal deoarece la trecerea excentrului S din exteriorul discului unitate în interiorul lui W_2 de $s > 1$ devine W_1 de $s < 1$.

3.2.2 **FSM-CE** Beta excentrice de variabilă **centrică** $Bex\alpha_{1,2}$

$$\beta_{\alpha_{1,2}} = Bex\alpha_{1,2} = \begin{cases} \beta(\alpha_1) = Bex\alpha_1 = \begin{cases} \arctan \frac{s \cdot \sin(\alpha_1 - \varepsilon)}{1 - s \cdot \cos(\alpha_1 - \varepsilon)} \\ \arcsin \frac{s \cdot \sin(\alpha_1 - \varepsilon)}{Rex\alpha_1} \end{cases} \\ \beta(\alpha_2) = Bex(\alpha_2) = \pi - \begin{cases} \arctan \frac{s \cdot \sin(\alpha_1 - \varepsilon)}{1 - s \cdot \cos(\alpha_1 - \varepsilon)} \\ \arcsin \frac{s \cdot \sin(\alpha_1 - \varepsilon)}{Rex\alpha_1} \end{cases} \end{cases}$$



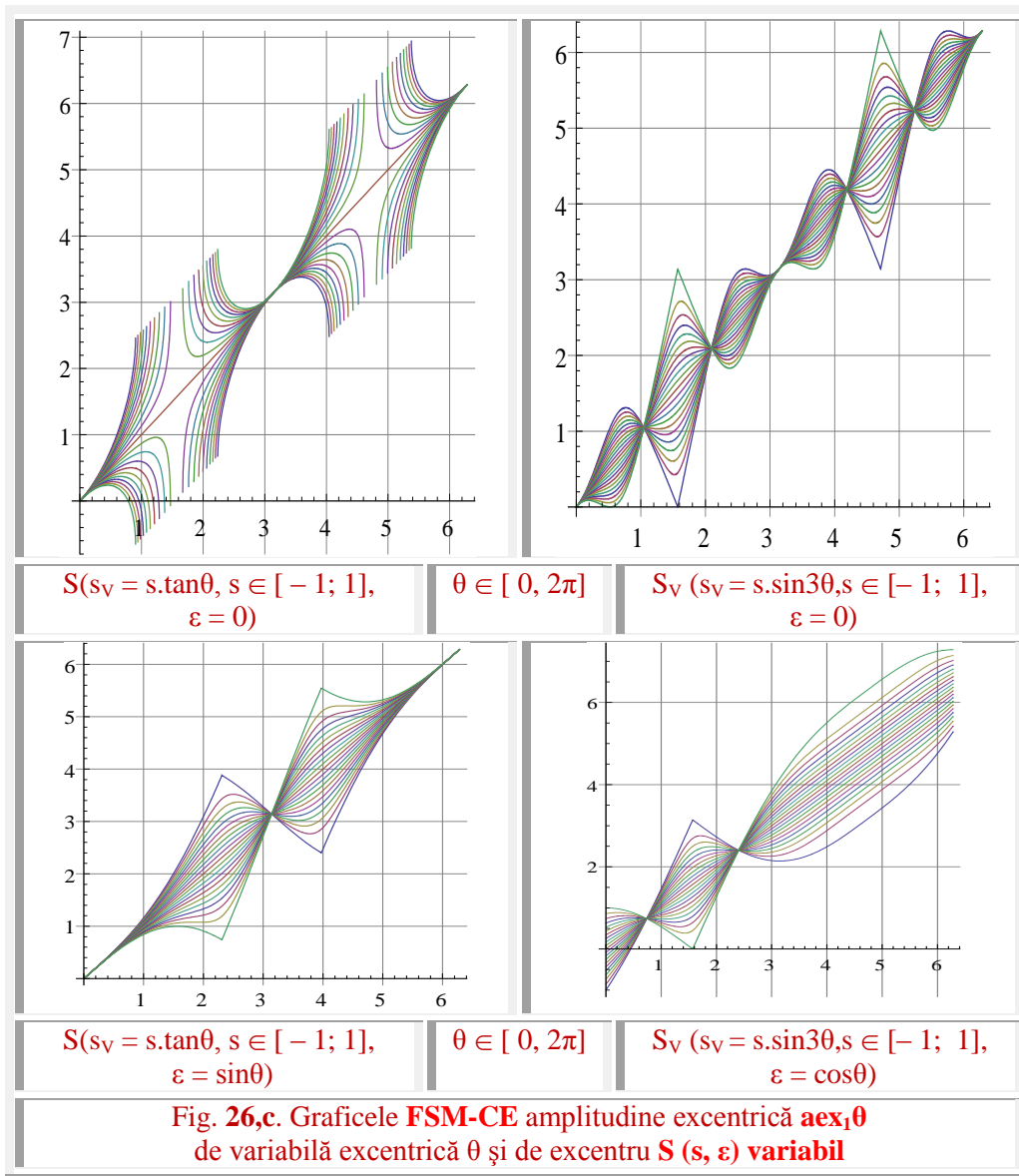


3.3.1 Amplitudine excentrică de variabilă **excentrică** θ

$$\alpha_{1,2}(\theta) = aex_{1,2}\theta = \begin{cases} \alpha_1 = \theta - \arcsin[s \cdot \sin(\theta - \varepsilon)] \\ \alpha_2 = \theta + \arcsin[s \cdot \sin(\theta - \varepsilon)] - \pi \end{cases}$$

$$aex_{1,2}\theta = \theta - bex_{1,2}\theta,$$

cu graficele din figura 26.



3.3.2 Amplitudine excentrică de variabile centrice $\alpha_{1,2}$

- Pentru excentricitate numerică subunitară $s \in [-1, +1]$

$$\theta(\alpha_{1,2}) = Aex \alpha_{1,2} = \begin{cases} \theta(\alpha_{1,2}) = \alpha_{1,2} - \arcsin \frac{s \cdot \sin(\alpha_{1,2} - \varepsilon)}{Rex \alpha_{1,2}} \\ \theta(\alpha_{1,2}) = \alpha_{1,2} - \arctan \frac{s \cdot \sin(\alpha_{1,2} - \varepsilon)}{1 - s \cdot \cos(\alpha_{1,2} - \varepsilon)} \end{cases}$$

$$Aex \alpha_{1,2} = \begin{cases} \alpha_{1,2} - Bex \alpha_{1,2} \\ \alpha_{1,2} - Bex \alpha_{1,2} \end{cases}$$

cu graficele din figura 27.

- Pentru excentricitate numerică supraunitară $s^2 > 1$ sau $s \in [-\infty, -1] \cup [1, +\infty]$

